

Поверхностные гравитационные волны уравнения Буссинеска

О.В. Капцов

Институт вычислительного моделирования, Россия
email: kaptsov@icm.krasn.ru

Д.О. Капцов

Институт вычислительного моделирования, Россия
email: hot.dok@gmail.com

Аннотация

В работе рассматривается классическое уравнение Буссинеска, описывающее гравитационные волны на мелкой воде. Для построения точных решений используется билинейное представление Хироты. Найденные решения описывают, в частности, волновые пакеты, волны на солитонах, "танцующие волны". Указывается принцип умножения решений уравнения Хироты, позволяющие строить более сложные структуры из солитонов, волновых пакетов и других типов волн.

§1 Введение

Семидесятые и восьмидесятые годы прошлого века были периодом бурного развития солитонной тематики, затронувшей различные области нелинейной физики. Были разработаны новые и возрождены забытые методы интегрирования ряда нелинейных уравнений [1], [2], [3]. К сожалению, число уравнений, интегрируемых этими методами, не слишком велика. Следует отметить, что сам термин "интегрируемость" имеет различные толкования, так как единого устойчивого определения не существует.

Наибольший интерес среди интегрируемых уравнений вызывают модели, обладающие солитонными решениями. К ним относится известное уравнение Буссинеска [4, 5]

$$\eta_{tt} = gh_0\eta_{xx} + \frac{3}{2}g(\eta^2)_{xx} + \frac{1}{3}gh_0^3\eta_{xxxx}, \quad (1)$$

где g – ускорение свободного падения; h_0 – глубина невозмущенной жидкости; η – функция от t и x , описывающая отклонение поверхности воды от невозмущенного состояния. Солитонные решения этого уравнения найдены Хиротой [6], бризерные решения указаны в [7], а рациональные в [1, 8]. Бризеры получаются

из солитонов комплификацией параметров, при этом сами решения должны оставаться вещественными. Сингулярные решения уравнения Буссинеска рассматривались в [9]. В работе [10] было замечено, что выбирая подходящим образом комплексные волновые параметры, можно получить различные типы волн уравнения Буссинеска.

В данной работе развиваются исследования, начатые в [10]. Во втором параграфе с помощью линейных дифференциальных связей четвертого порядка находится решение уравнения Буссинеска, зависящее от нескольких произвольных констант и выражающееся через элементарные функции. Из бризерных решений выделяются специальные типы волн, такие как волновые пакеты, "танцующие" волны и волны на солитонах. Представляется удобная форма принципа суперпозиции, позволяющая получать из специальных типов волн более сложные структуры. В частности, среди них имеются структуры, описывающие взаимодействие волновых пакетов с "танцующими" солитонами и между собой. В третьем параграфе найдены новые решения уравнения Буссинеска, похожие на решения из параграфа 2. Однако эти решения удовлетворяют другим дисперсионным соотношениям и стремятся к другой константе при $|x| \rightarrow \infty$.

§2 Базовые решения и их суперпозиция

Уравнение Буссинеска (1) приводится к виду

$$w_{tt} = w_{xx} + 3(w^2)_{xx} + w_{xxx} \quad (2)$$

преобразованием растяжения. Введем новую функцию u , полагая $w = u_{xx}$. Тогда уравнение (2) записывается в виде:

$$\frac{\partial^2}{\partial x^2}(u_{tt} - u_{xx} - 3u_{xx}^2 - u_{xxx}) = 0.$$

В дальнейшем считаем, что функция u удовлетворяет уравнению

$$u_{tt} = u_{xx} + 3u_{xx}^2 + u_{xxx}.$$

Замена $u = 2 \ln(H)$ приводит последнее уравнение к билинейному представлению

$$H H_{tt} - H_t^2 - H H_{xxxx} + 4H_x H_{xxx} - 3H_{xx}^2 - H H_{xx} + H_x^2 = 0. \quad (3)$$

Таким образом, решения уравнения (2) получаются из решений уравнения (3) по формуле

$$w = 2 \frac{\partial^2}{\partial x^2} \ln H. \quad (4)$$

Эта формула предложена Хиротой [6], он же использовал билинейное уравнение, равносильное (3), для построения многосолитонных решений уравнения Буссинеска. В частности, тройка решений уравнения (3) имеет вид

$$\begin{aligned} H_1 &= 1 + f_1, \\ H_2 &= 1 + f_1 + f_2 + p_{12} f_1 f_2, \\ H_3 &= 1 + f_1 + f_2 + f_3 + p_{12} f_1 f_2 + p_{13} f_1 f_3 + p_{23} f_2 f_3 + p_{12} p_{13} p_{23} f_1 f_2 f_3, \end{aligned} \quad (5)$$

где $f_i = s_i \exp(k_i x + m_i t)$, где s_i, k_i – произвольные константы, а

$$p_{ij} = \frac{3(k_i - k_j)^2 + (m_i - m_j)^2}{3(k_i + k_j)^2 + (m_i - m_j)^2}. \quad (6)$$

При этом параметры k_i, m_i удовлетворяют "дисперсионному" соотношению

$$m_i^2 = k_i^2 + k_i^4. \quad (7)$$

Функции H_1, H_2 являются решениями уравнения четвертого порядка

$$\frac{\partial}{\partial x} \left(\frac{\partial}{\partial x} - k_1 \right) \left(\frac{\partial}{\partial x} - k_2 \right) \left(\frac{\partial}{\partial x} - k_1 - k_2 \right) H = 0. \quad (8)$$

Возникает вопрос: имеются ли отличные от H_1, H_2 решения системы (2), (8)? Пусть $k_1 = k_2 = k \neq 0 \in R$. Тогда общее решение уравнения (8) имеет вид

$$H = c_1 + (c_2 x + c_3) e^{kx} + c_4 e^{2kx}, \quad (9)$$

где c_1, \dots, c_4 – некоторые функции от t . Не ограничивая общности, c_1 можно считать равной 1 или 0. Предположим, что $c_1 = 1$. Подставляем представление (9) в уравнение (2) и получаем переопределенную систему обыкновенных дифференциальных уравнений относительно функций c_2, c_3, c_4 . Решая эту систему, находим

$$c_2 = -\frac{sme^{-mt}}{k(2k^2 + 1)}, \quad c_3 = se^{-mt}, \quad c_4 = -\frac{s^2(4k^2 + 3)e^{-2mt}}{12k^2(2k^2 + 1)^2},$$

где $s \in R, m^2 = k^2 + k^4$. Другие решения системы (2), (8) представлены в [10].

Обобщением (8) является дифференциальное уравнение порядка 2^n :

$$\frac{\partial}{\partial x} \prod_{\substack{1 \leq p \leq n \\ 1 \leq i_1 < \dots < i_p \leq n}} \left(\frac{\partial}{\partial x} - k_{i_1} - \dots - k_{i_p} \right) H = 0.$$

Решая это уравнение при разнообразных параметрах k_1, \dots, k_n и подставляя в (2), можно найти солитонные, рациональные, бризерные и другие решения уравнения Буссинеска.

Далее мы сосредоточим свое внимание на специальном классе решений. Этот класс заслуживает особого изучения, так как он задает интересные типы волн. **Определение.** Функцией Хироты (или H -функцией) будем называть функцию вида

$$H(k_1, \dots, k_n) = ((1 + f(k_1)) * \dots * (1 + f(k_n))), \quad (10)$$

где k_i – комплексные параметры, $f(k_i) = \exp(k_i x + \sqrt{k_i^2 + k_i^4} t)$. Символ $*$ означает бинарную операцию, удовлетворяющую условиям коммутативности, ассоциативности, дистрибутивности и заданную условиями $\forall c \in \mathbb{C}$

$$c * f(k_i) = cf(k_i), \quad f(k_{i_1}) * \dots * f(k_{i_l}) = p_{i_1 \dots i_l} f(k_{i_1}) \dots f(k_{i_l}),$$

где $p_{i_1 \dots i_l} = p_{i_1 i_2} \cdots p_{i_{l-1} i_l}$ – произведение всех $p_{i_r i_q}$ ($r < q \leq l$) заданных формулой (6).

Сам Хирота использовал для многосолитонных решений другое представление [6].

Очевидно, функция Хироты $H(k_1, \dots, k_n)$ не меняется при перестановке любых двух параметров k_i, k_j . Если же какая то пара параметров совпадает, то функция Хироты тождественно равна нулю.

Легко видеть, что функции Хироты образуют бесконечную коммутативную полугруппу с умножением

$$H(k_1, \dots, k_n) * H(k'_1, \dots, k'_m) = H(k_1, \dots, k_n, k'_1, \dots, k'_m). \quad (11)$$

Из этого следует принцип суперпозиции: если заданы две функции Хироты, то их * произведение также является функцией Хироты и решением уравнения (3).

Нас будет интересовать только вещественные значения функции Хироты, которые могут зависеть от комплексных параметров. Начнем со случая двух параметров $k_1 = a + ib, k_2 = a - ib$. Очевидно, комплексно сопряженные параметры задают вещественную функцию $H(k_1, k_2)$. Мы выделяем три типа функций H , задающих три типа волн для уравнения Буссинеска (2). К первому типу волн относятся волновые пакеты (рис. 1), ко второму (D-волны) – "танцующие волны" (рис. 2), к третьему (R-волны) – волны на солитоне (рис. 3).

Константы a, b , задающие комплексно сопряженные числа k_1, k_2 , таковы

$$\begin{aligned} a = 0.1, \quad b = 0.933 & \quad \text{для R-волны,} \\ a = 0.2, \quad b = 0.933 & \quad \text{для D-волны,} \\ a = 0.911, \quad b = 2.8213 & \quad \text{для R-волны.} \end{aligned}$$

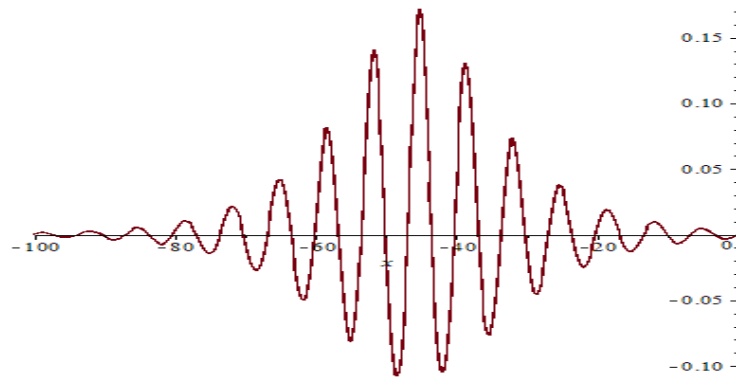


Рис. 1: Волновой пакет

В каждый фиксированный момент времени t решения уравнения Буссинеска (2), отвечающие P, D, R -волнам стремятся к нулю при $|x| \rightarrow \infty$. Анимационные картинки этих волн представлены в P.gif, D.gif, R.gif. Кроме указанных выше значений констант a, b , существуют области на плоскости $R^2(a, b)$, для которых реализуются P, R, D - волны. Заметим, что обычному солитону (или S-волне) соответствует функция Хироты $H(k)$ с вещественным параметром $k \neq 0$.

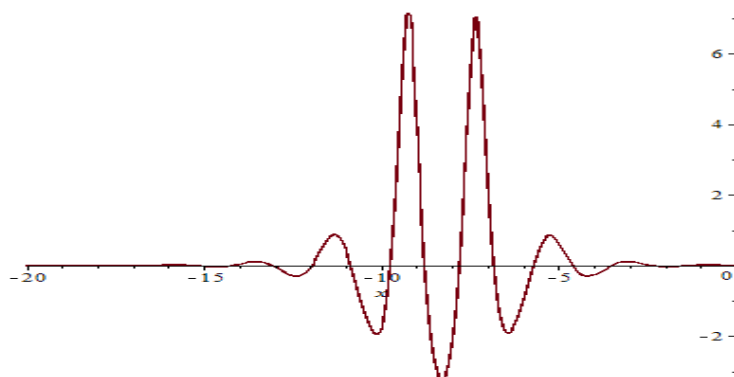


Рис. 2: Танцующие волны

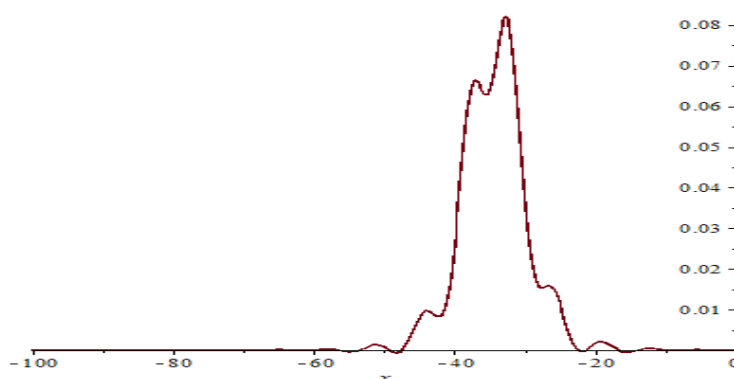


Рис. 3: Волны на солитоне

Для построения более сложных волновых структур из P, D, R, S -волн достаточно использовать формулу умножения (11) H функций, соответствующих этим волнам и (4). На SD.gif приведены анимационные картины, показывающие взаимодействие солитона (параметр $k = 1$) с D -волной (параметры указаны выше). Как видно на картинках форма и скорость волн восстанавливаются после взаимодействия. Следует выделить интересную структуру (SP2.gif), состоящую из волнового пакета и солитона (параметры $k_1 = 0.1 + 0.933i$, $k_2 = \overline{k_1}$, $k_3 = 1.5$). Солитон и волновой пакет движутся друг за другом, фактически не взаимодействуя. На PP.gif показаны взаимодействия двух волновых пакетов между собой. Волновые числа таковы: $k_1 = 0.1 + 0.933i$, $k_2 = \overline{k_1}$, $k_3 = 0.1 + 1.933i$, $k_4 = \overline{k_3}$. На PP2.gif показано движение двух фактически не взаимодействующих волновых пакетов. Таким же образом можно получить решение уравнения Буссинеска, описывающее движение любого числа P, D, R, S -волн.

§3 Новые дополнительные решения

Множество решений уравнения Буссинеска выражающихся через элементарные функции, далеко не исчерпывается приведенными выше. В этом параграфе мы построим новые решения, вновь используя билинейное уравнение.

Выполним замену $w = v - \frac{1}{6}$ и приведем уравнение (2) к виду

$$v_{tt} = (3v^2 + v_{xx})_{xx}. \quad (12)$$

Затем введем новую функцию z по формуле $v = z_{xx}$ и получим уравнение шестого порядка, которое два раза интегрируется. В результате приходим к уравнению

$$z_{tt} = 3z_{xx}^2 + z_{xxxx}$$

После замены $z = 2 \ln(G)$ получаем новое билинейное уравнение

$$GG_{tt} - G_t^2 - GG_{xxxx} + 4G_x G_{xxx} - 3G_{xx}^2 = 0, \quad (13)$$

отличающееся от (3) только двумя слагаемыми.

Введем функции $g_i = \exp(k_i x + k_i^2 t)$, $k_i \in \mathbb{C}$, $i = 1, 2, 3$. Прямыми вычислениями несложно проверить, что функции

$$G_1 = 1 + g_1, \quad G_2 = 1 + g_1 + g_2 + p_{12}g_1g_2,$$

$$G_3 = 1 + g_1 + g_2 + g_3 + p_{12}g_1g_2 + p_{13}g_1g_3 + p_{23}g_2g_3 + p_{12}p_{13}p_{23}g_1g_2g_3$$

удовлетворяют билинейному уравнению (13), если

$$p_{ij} = \frac{(k_i - k_j)^2}{k_i^2 + k_i k_j + k_j^2}, \quad (i \leq i < j \leq 3).$$

Значит, функции

$$w_i = -\frac{1}{6} + 2 \frac{\partial^2}{\partial x^2} \ln(G_i), \quad i = 1, 2, 3,$$

являются решениями уравнения Буссинеска.

Несмотря на то, что эти решения w_i отличаются от решений, приведенных во втором параграфе, качественное поведение тех и других похожее. Если параметры k_1, k_2, k_3 вещественных попарно различны и не равны нулю, то соответствующие функции w_i ($i = 1, 2, 3$) задают одно-, двух- и трехсолитонные решения уравнения (2) такие, что $w_i \rightarrow -\frac{1}{6}$ при $|x| \rightarrow \infty$. Если взять параметры k_1, k_2 комплексносопряженными, то решение w_2 будет вещественным. Например, при $k_1 = 0, 2 + i, k_2 = 0, 2 - i$ мы получаем волновой пакет, график которого представлен на рис. 4 при $t = 0$. При $k_1 = 0.5 + i, k_2 = 0.5 - i$, приходим к решению, подобному D -волне.

Отметим, что решения уравнения Буссинеска (2) можно искать в виде:

$$w = A + 2 \frac{\partial^2}{\partial x^2} \ln K,$$

где A – произвольная константа, а функция $K(t, x)$ удовлетворяет билинейному уравнению

$$KK_{tt} - K_t^2 - KK_{xxxx} + 4k_x K_{xxx} - 3K_{xx}^2 - AKK_{xx} + AK_x^2 = 0.$$

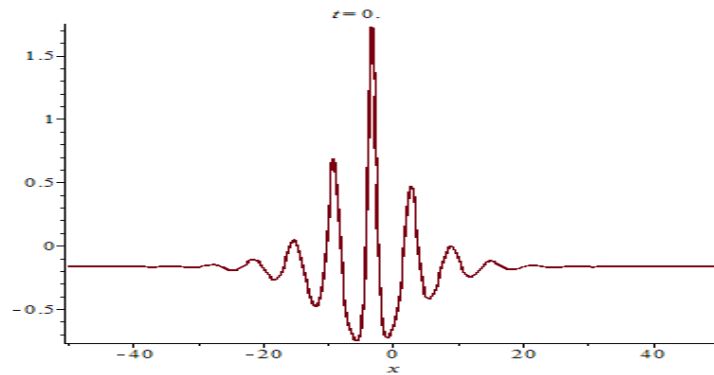


Рис. 4: Волновой пакет

Следуя методике описанной выше, несложно построить новые солитоноподобные решения уравнения Буссинеска (2).

Интересно было бы рассмотреть другой вариант уравнения Буссинеска

$$w_{tt} = w_{xx} + 3(w^2)_{xx} + w_{ttxx}$$

с нулевыми граничными условиями при $|x| \mapsto \infty$ и начальными условиями в виде P, D или R -волн. Возникает вопрос об эволюции решений данной задачи и о том, будут ли они близки к соответствующим решениям уравнения (2) в течении долго времени.

Работа выполнена при финансовой поддержке РФФИ (грант 17-01-00332-а).

Список литературы

- [1] М. Абловиц, Х. Сигур, Солитоны и методы обратной задачи - М.: Мир, 1987г.
- [2] Теория солитонов: Метод обратной задачи / В.Е. Захаров, С.В. Манахов, С.П. Новиков и др. - М. Наука, 1980
- [3] V.B. Matveev, M.A. Salle. Darboux transformations and solitons - N.Y.: Springer - Verlag, 1991
- [4] Дж. Узем. Линейные и нелинейные волны. М.: Мир, 1977
- [5] L. Debnath. Nonlinear water waves. Boston: Academic Press. 1994
- [6] R. Hirota. Exact N-soliton solutions of the wave equation of long waves in shallow-water and in nonlinear lattices // JMP, V. 14, pp. 810-814
- [7] M. Tajiri, Y. Murakami. On breather solutions to the Boussinesq equation // J. Phys. Soc. Jpn., v.58, No. 10, 1989, pp. 3585-3590
- [8] P. Clarkson, E. Dowie. Rational solutions of the Boussinesq equation and applications to rogue waves // arXiv: 160900503v2, 2017

- [9] L.V. Bogdanov, V.E. Zakharov. The Boussinesq equation revisited // *Physica D*, v. 165, 2002, p. 137-162
- [10] О.В. Капцов. Построение точных решений уравнения Буссинеска // *ПМТФ*, т. 39, N3, 1998, с. 74-78